

بررسی خواص حسگری اکسیژن در دماهای مختلف توسط نانو صفحات دی سولفید مولیبدن

فاطمه استواری^{*}، نسیم بختیاری

آزمایشگاه نانوپتوالکترونیک، دانشکده فیزیک، دانشگاه یزد

چکیده

در این مقاله نانو صفحات دوبعدی دی سولفید مولیبدن با دو روش مبتنی بر حلال و رسوب فیزیکی بخار تولید و نمونه های بدست آمده با استفاده از تصویربرداری SEM، طیف سنجی رامان و FTIR شناسایی شدند. نتایج SEM دلالت بر تولید صفحات متراکم تر در روش مبتنی بر حلال نسبت به روش رسوب فیزیکی بخار دارند. حضور پیوندهای اکسیژن دار مولیبدن به همراه گروه های OH در طیف FTIR نمونه ساخته شده با روش مبتنی بر حلال مشاهده شده است. بعلاوه تغییرات جریان بر حسب ولتاژ و حساسیت پذیری نمونه ها در معرض شار اکسیژن نشان می دهد که نانو صفحات دی سولفید مولیبدن بدست آمده از هر دو روش قابلیت حسگری اکسیژن را دارند. همچنین نمونه سنتر شده با روش رسوب فیزیکی بخار در حسگری اکسیژن حساسیت پذیری بالاتری دارد در حالی که نمونه سنتر شده با روش مبتنی بر حلال خاصیت تکرار پذیری مناسبی دارد. بعلاوه در هر دو حسگر ساخته شده افزایش دما منجر به افزایش قدرت حسگری می شود.

واژه های کلیدی: نانو صفحات دی سولفید مولیبدن، حسگر گاز، حساسیت پذیری، تکرار پذیری

ایمیل نویسنده مسئول: ostovari@yazd.ac.ir

۱- مقدمه

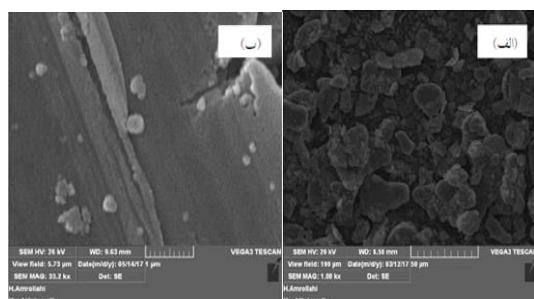
دی سولفید مولیبدن در حالت توده ای نیمه هادی نوع n است [۷]. گازهایی که در مجاورت آن قرار می گیرند نیز یا دهنده کلتون (n-type) هستند یا پذیرنده کلتون (p-type). وقتی گازی دهنده کلتون باشد و در مجاورت لایه ای از دی سولفید مولیبدن قرار گیرد، تعداد حامل های بار آن را افزایش می دهد. در مقابل با حضور شار گاز پذیرنده کلتون تعداد حامل های بار در لایه دی سولفید مولیبدن کاهش می باید. بنابراین وقتی گاز اکسیژن که یک پذیرنده کلتون است در مجاورت دی سولفید مولیبدن قرار می گیرد، تعداد حامل های آن را افزایش می دهد. اکسیژن یکی از گازهایی است که در بسیاری از کاربردها از قبیل پزشکی و صنعت مورد استفاده قرار می گیرد [۸]. گرچه اکسیژن در غلظت های پایین حیاتی است اما در غلظت های بالاتر از ۱۶٪ ممی است و منجر به تشنج می شود. سمیت اکسیژن معمولاً از فشار ۲۱ کیلو پاسکال شروع می شود. بعلاوه در غلظت های بالای اکسیژن، خطر احتراق در حضور موادی مانند پراکسید، کلرات، نیترات ها، پرکرات ها و دی کرومات ها افزایش می باید [۹]. بنابراین تشخیص و اندازه گیری غلظت آغاز اکسیژن، بسیار مهم است.

مطالعات نشان داده اند که مواد در مقیاس نانو، بدیلیل بالا بودن نسبت سطح به حجم، نسبت به محیط اطراف خود حساس ترند و توانایی بیشتری در حسگری مواد دارند. در این مقاله به بررسی خواص حسگری اکسیژن بر پایه نانو صفحات MoS₂ بدست آمده از دو روش مبتنی بر حلال و رسوب فیزیکی بخار می پردازیم.

TMD ها ترکیبات معدنی با فرمول کلی MX₂ هستند که در آن M یک عنصر از فلزات واسطه گروه ۴ تا ۱۰ جدول تناوبی و X عنصر گوگرد یا سلینیوم می باشند [۱] این مواد زمانی که بصورت یک یا چند لایه ای باشند، گاف انرژی غیر صفر (۱,۲eV) دارند و از این نسبت به گرافن با گاف انرژی صفر کاربردهای بیشتری در الکترونیک خواهند داشت [۲و۳]. در میان TMD ها دی سولفید مولیبدن (MoS₂) نقش منحصر به فردی دارد [۴]. اگر از بالا به ساختار MoS₂ نگاه کنیم شبکه ای لانه زیبوری مشاهده می کنیم. در این ساختار یک لایه از اتم های مولیبدن بین دو لایه گوگرد قرار دارد [۵]. بین اتم های مولیبدن و گوگرد پیوند قوی کوالانسی و بین هر لایه با لایه دیگر پیوند ضعیف و اندوالس برقرار است. این لایه سه گانه با ضخامت ۰,۶۲۵ nm تشکیل یک صفحه دی سولفید مولیبدن می دهد [۶]. این ماده که در حالت توده دارای گاف انرژی غیر مستقیم ۱,۸eV است، با کاهش تعداد لایه ها به یک لایه گاف انرژی آن مستقیم شده و کاهش می باید [۷]. از دیگر ویژگی های تک لایه MoS₂ می توان به انعطاف پذیری، شفافیت، تحرک بالای کلتون و ... اشاره کرد. به دلیل وابستگی تحرک حامل ها به ضخامت و محیط اطراف، از MoS₂ برای ساخت حسگرها بخصوص حسگرهای گازی استفاده می شود.

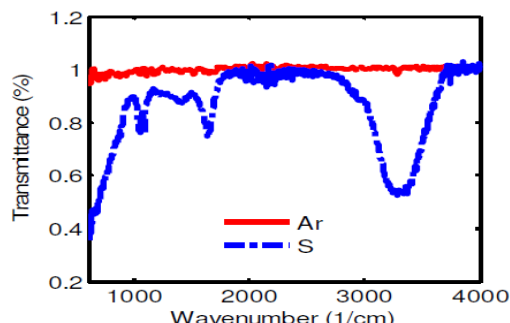
در ادامه کیفیت نانو صفحات دی‌سولفید مولیبدن بدست آمده از هر دو روش به وسیله میکروسکوپ الکترونی عبوری (SEM)، طیف تبدیل فوریه فروسرخ (FTIR) و طیف رامان مورد بررسی قرار می‌گیرد. بعد از اطمینان از کیفیت لایه‌ها به منظور بررسی قابلیت دی‌سولفید مولیبدن در حسگری اکسیژن، تغییرات جریان عبوری از افزارهای ساده بر پایه مواد سنتز شده را در حضور و عدم حضور اکسیژن در دمای مختلف بررسی خواهیم کرد.

شکل ۳ تصاویر SEM نانو صفحات دی‌سولفید مولیبدن تولید شده با هر دو روش مبتنی بر حلال و رسوب فیزیکی بخار را نشان می‌دهد. طبق این تصاویر، در روش مبتنی بر حلال (شکل ۳(الف)) صفحات ضخیmer و با تراکم بیشتری نسبت به روش رسوب فیزیکی بخار (شکل ۳(ب)) تولید شده‌اند.



شکل ۳. تصاویر SEM نانو صفحات دوبعدی بدست آمده از روش
الف) مبتنی بر حلال و ب) رسوب بخار فیزیکی

طیف FTIR نانو صفحات تولید شده نیز در شکل ۴ نشان داده شده است. پیک ۱۳۹۶,۵۶ مربوط به ارتعاش کششی پیوندهای گروه الکلی، پیک پهن تر نیز در ۱۶۳۹,۰۳ مربوط به ساختار DDP و MO است و پیک ۳۲۸۷,۱۷ نیز مربوط به گروه OH می‌باشد [۱۴ و ۱۵].



شکل ۴. طیف FTIR نانو صفحات دی‌سولفید مولیبدن بدست آمده از روش رسوب بخار فیزیکی (Ar) و روش مبتنی بر حلال (S).

شکل ۵ طیف رامان دی‌سولفید مولیبدن تهیه شده با دو روش مبتنی بر حلال و رسوب بخار فیزیکی را نشان می‌دهد. در این طیف پیک‌های E_{2g} و A_{1g} نمایانگر حالت‌های ارتعاشی داخلی و خارجی می‌باشد. کمیت Δ که به اختلاف شدت این دو پیک مرتبط است بیانگر کاهش ضخامت از

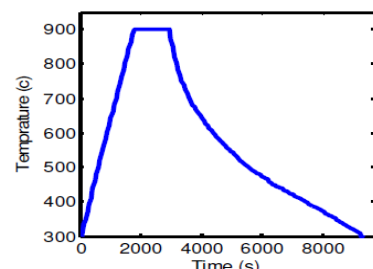
۲- بخش تجربی
ابتدا به منظور تهیه زیرلایه SiO_2 ، ویفر سیلیکون به مدت ۲ ساعت در دمای ۱۱۰۰ درجه سانتی‌گراد در معرض شار اکسیژن قرار گرفت و لایه‌ای نانومتری از SiO_2 بر زیر لایه سیلیکون تشکیل می‌شود [۱۰].

برای سنتز نانو صفحات دوبعدی دی‌سولفید مولیبدن با روش لایه برداری مبتنی بر حلال از ترکیب آب و اتانول استفاده می‌شود [۱۱]. بدین منظور ۷۵ میلی گرم پودر دی‌سولفید مولیبدن به محلول آب دیونیزه و اتانول با نسبت حجمی ۵۵٪ و ۴۵٪ اضافه و مخلوط فوق به مدت ۱۰ دقیقه روی همزن مغناطیسی قرارگرفت تا دی‌سولفید مولیبدن به خوبی در حلال پخش شود. سپس برای جداسازی لایه‌های دی‌سولفید مولیبدن از یک دیگر، محلول فوق به مدت ۱۲ ساعت در حمام فراصوت با فرکانس ۴۰ کیلو هرتز قرار گرفت (شکل ۱(الف)). در نهایت محلول بدست آمده با روش پوششی - چرخشی بر زیر لایه SiO_2 لایه نشانی شد.



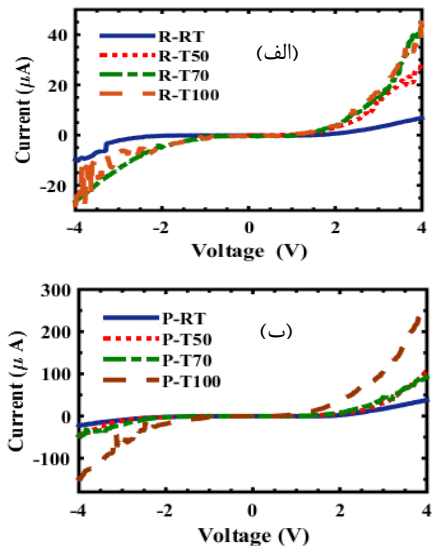
شکل ۱. الف) نانو صفحات دوبعدی دی‌سولفید مولیبدن در محلول، ب) لوله کوارتز حامل بوته زیر لایه SiO_2

جهت تولید صفحات دوبعدی دی‌سولفید مولیبدن با روش رسوب فیزیکی بخار، مقداری دی‌سولفید مولیبدن را در بوته‌ی آلومینا ریخته و بوته را در لوله کوارتز با طول ۵۰ سانتی متر قرار داده شد. لوله کوارتز نیز به گونه‌ای در گوره گذاشته شد که بوته در منطقه دمایی گوره قرار گیرد و زیر لایه SiO_2 در نزدیکی آن قرار گرفت (شکل ۱(ب)). سپس گاز آرگون به عنوان گاز حامل با فشار ۱۲ پاسکال وارد لوله کوارتز شد و در همین حین دما تا ۹۰۰ درجه افزایش یافت [۱۲ و ۱۳]. با بالا رفتن دما صفحات دی‌سولفید مولیبدن از یک دیگر جدا شده و در حضور شار آرگون بر روی زیر لایه SiO_2 قرار گرفتند. تغییرات زمانی دما در لوله کوارتز در شکل ۲ نشان داده شده است.



شکل ۲. تغییرات زمانی دما در گوره به منظور رشد نانو صفحات دوبعدی دی‌سولفید مولیبدن به روش رسوب فیزیکی بخار.

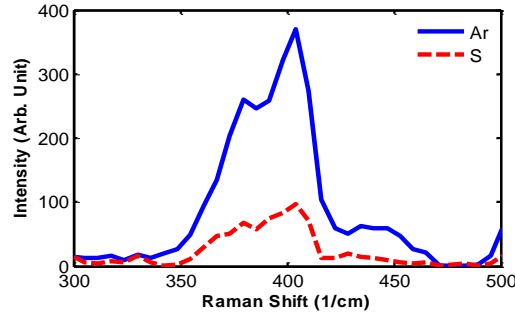
حالت بالک (تووده‌ای) به چندلایه و بعد تکلایه می‌باشد [۱۶].



شکل ۶. تغییرات جریان الکتریکی بر حسب ولتاژ در شرایط محیطی و در دماهای مختلف برای دو حسگر بر پایه نانو صفحات دی‌سولفید مولیبدن سنتز شده (الف) رسوپ فیزیکی بخار (R) و (ب) مبتنی بر حلال (P).

با افزایش دما، انرژی گرمایی بر انرژی اتصال ناخالص‌ها فائق آمده و باعث جدا شدن آنها از سطح نانوصفحات دی‌سولفید مولیبدن می‌شود. بیشتر ناخالص‌های اکسیژن‌دار و گروههای OH مثل آب در دماهای زیر ۱۰۰ درجه سانتی‌گراد از سطح فونه جدا می‌شوند. جدا شدن این ناخالص‌ها منجر به کاهش پراکندگی از ناخالصی و افزایش حرکت‌پذیری و جریان می‌گردد. از میان گروههای ناخالصی حذف مولکولهای اکسیژن از سطح در دماهای پایین‌تر (زیر ۶۰ درجه سانتی‌گراد) و حذف گروههای OH در حدود دمای ۱۰۰ درجه سانتی‌گراد اتفاق می‌افتد. بنابراین بالا بردن دما تا ۵۰ درجه سانتی‌گراد منجر به افزایش بیشتر جریان شده است در حالیکه در دماهای مابین ۵۰ الی ۷۰ درجه سانتی‌گراد افزایش چشمگیری در جریان ایجاد نمی‌شود. مجدداً در دمای ۱۰۰ درجه سانتی‌گراد بدليل تغییر مولکولهای آب و مولکولهای مشابه جریان بطور قابل ملاحظه‌ای افزایش می‌یابد.

گرچه استفاده از نانوصفحات سنتز شده به روش رسوپ فیزیکی بخار بدليل عدم حضور ناخالص‌ها و نقوص سطحی باعث کاهش نویز می‌شود، اما شکل ۶ نشان می‌دهد که جریان گذرنده از این نمونه بسیار پایین است. کوچک بودن اندازه جریان بدليل تولید نانوصفحات کم لایه و حضور گستگی بین صفحات تولید شده در این نمونه نسبت به نمونه سنتز شده با روش مبتنی بر حلال می‌باشد. با این حال در هر دو نمونه روند افزایش جریان با بالاتر رفتار دما در غیاب شار اکسیژن دیده می‌شود.



شکل ۵. طیف رامان نانو صفحات دی‌سولفید مولیبدن بدست آمده از روش رسوپ فیزیکی بخار (Ar) و روش مبتنی بر حلال (S).

۳ - تجزیه و تحلیل نتایج

حال به بررسی تاثیر جذب اکسیژن بر میزان جریان الکتریک گذرنده از نانولایه‌های MoS_2 می‌پردازیم. بدین منظور پس از قرار دادن نانو لایه‌های MoS_2 بر زیر لایه SiO_2/Si به کمک دستگاه مشخصه‌یابی الکتریکی که دقت آن از مرتبه نانوآمپر است، به بررسی تغییرات جریان الکتریکی عبوری از حسگر در غیاب و در معرض شار اکسیژن در دماهای مختلف می‌پردازیم.

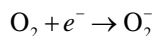
شکل ۶ تغییرات جریان الکتریکی عبوری از حسگرها بر حسب ولتاژ در غیاب شار اکسیژن، در دماهای مختلف و در شرایط محیطی را نشان می‌دهد. همانگونه که از این شکل مشخص است با افزایش دما مقدار جریان الکتریکی عبوری از هر دو حسگر نسبت به دمای اتفاق افزایش می‌یابد. اما افزایش جریان با افزایش دما رابطه خطی ندارد. در واقع با بالاتر رفتار دما تا ۵۰ درجه سانتی‌گراد، جریان به میزان قابل توجهی افزایش یافت.

افزایش جریان الکتریکی با افزایش دما، بهدلیل تغییرات ناخالصی‌های موجود در ساختار نانوصفحات سنتز شده اتفاق می‌افتد. در سنتز نانوصفحات دی‌سولفید مولیبدن گروههای ناخالصی متعددی در سطح آن تولید می‌شود که میزان آن‌ها در روش مبتنی بر حلال بسیار بیشتر از روش رسوپ فیزیکی بخار است. حضور این گروههای ناخالصی در طیف FTIR مونه‌های سنتز شده (شکل (۴)) نیز مشخص است.

درجه سانتی گراد افزایش می‌باید اما در دمای ۱۰۰ درجه سانتی گراد اندازه ΔI روند کاهشی می‌باید این کاهش به رقابت بین افزایش پراکندگی از ناچالصی و افزایش چگالی حامل‌های اکثربت مریبوط می‌شود.

اما همان‌طور که از نمودار داخلی شکل ۷ (ب) مشخص است هنگامی که حسگر ساخته شده با روش مبتنی بر حلال در معرض شار اکسیژن قرار گرفته است، جریان عبوری از آن افزایش یافته است. از آنجا که اکسیژن پذیرنده الکترون است، تها در صورتی با جذب آن جریان گذرنده از حسگر افزایش می‌باید که MoS_2 بکار رفته در حسگر از نوع P باشد. بنظر می‌رسد علی‌رغم اینکه این ماده بصورت طبیعی نیمه‌رسانای نوع n است اما روش سنتز مبتنی بر حلال باعث افزایش گروه‌های عاملی نظیر OH بر سطح آن شده و نوع آن را تغییر می‌دهند. حضور این گروه‌ها در طیف FTIR این نمونه نیز کاملاً مشخص است.

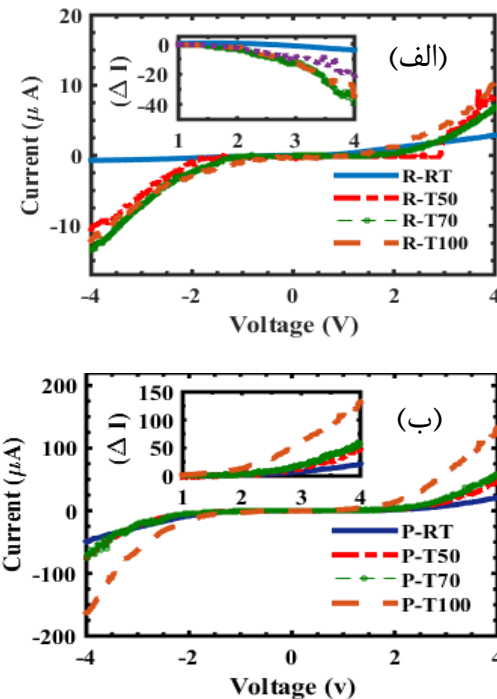
بنابراین هنگامی که نانوصفحات MoS_2 نوع p تولید شده با روش مبتنی بر حلال در معرض گاز اکسیژن قرار می‌گیرد، مولکول اکسیژن بدليل خاصیت الکترون‌خواهی بالایی که دارد یک الکترون از سطح ماده جدا کرده و یک حفره روی سطح باقی می‌گذارد. به این ترتیب چگالی حامل‌های اکثربت و در نتیجه جریان عبوری از آن در حضور شار اکسیژن افزایش می‌باید.



شکل ۸ میزان حساسیت‌پذیری حسگر ساخته شده (

$$\frac{|I - I_0|}{I_0}$$

) را در دمای اتاق هنگامی که در معرض شار اکسیژن ۶ SLP م قرار گرفته است، نشان می‌دهد. طبق نمودارهای این شکل حساسیت‌پذیری هر دو حسگر با افزایش دما افزایش می‌باید.



شکل ۷. تغییرات جریان بر حسب ولتاژ در دماهای مختلف در معرض شار اکسیژن با نرخ ۶ SLP م گذرنده از دو حسگر ساخته شده با روش (الف) رسوب فیزیکی بخار(R) و (ب) مبتنی بر حلال(P) (نمودار داخلی تغییرات جریان(ΔI) بر حسب ولتاژ در شرایط مشابه را نشان می‌دهد).

شکل ۷ جریان الکتریکی گذرنده از هر دو حسگر را در حضور شار اکسیژن با نرخ ۶ SLP م در دماهای مختلف نشان می‌دهد.

همانطور که در شکل مشخص است، در حضور شار اکسیژن جریان عبوری از هر دو حسگر با افزایش دما افزایش یافته است. افزایش جریان در این نمودار به حذف ناچالصی‌ها و افزایش چگالی حامل‌ها بدليل جذب بیشتر مولکول‌های اکسیژن در دماهای بالاتر مرتبط می‌شود. روند افزایش جریان با افزایش دما در حضور شار اکسیژن تقریباً مشابه همین روند در عدم حضور شار اکسیژن است.

در نمودار داخلی شکل ۷ تغییرات جریان الکتریکی، $I = I_0 - I$ نشان داده شده است که در آن I جریان عبوری از حسگر در حضور شار اکسیژن و I_0 جریان عبوری از آن در غیاب شار اکسیژن می‌باشد.

نمودار داخلی شکل ۷ (الف) کاهش جریان عبوری از حسگر ساخته شده با روش رسوب فیزیکی بخار در حضور شار اکسیژن نسبت به عدم حضور آن در دماهای مشابه را نشان می‌دهد. منفی بودن این اختلاف جریان‌ها دلیلی بر نوع n بودن دی‌سولفید مولیبدن با روش رسوب فیزیکی بخار است که مغایرتی با نوع توده‌ای این ماده ندارد. بعلاوه این شکل نشان می‌دهد که اندازه ΔI با بالا رفتن دما تا

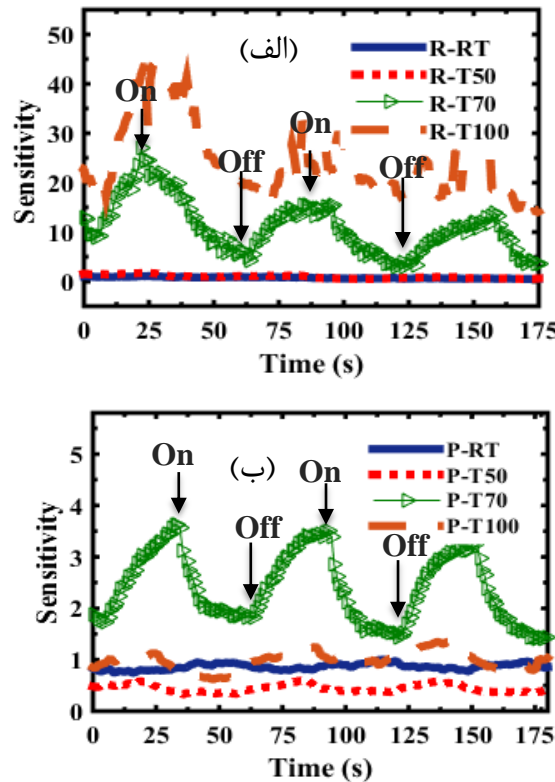
بنابراین اگر حسگری با حساسیت بالا مد نظر داشته باشیم بهتر است از حسگر ساخته شده با روش رسوب فیزیکی بخار استفاده کنیم و در صورتی که نیاز به چندین مرتبه حسگری داریم، استفاده از حسگر ساخته شده با روش مبتنی بر حال مقرن به صرفه‌تر است.

۴. نتیجه گیری

نانو صفحات دی‌سولفیدمولیبدن با دو روش مبتنی بر حال و رسوب فیزیکی بخار تولید شدن و کیفیت آنها با تصاویر SEM و طیف سنجی FTIR و رامان مورد بررسی قرار گرفت. سپس تغییرات جریان بر حسب ولتاژ و حساسیت‌پذیری گونه‌های ساخته شده در معرض شار اکسیژن در دماهای مختلف بررسی گردید. نتایج دلالت بر حساسیت‌پذیری بالای گونه ساخته شده با روش رسوب فیزیکی بخار نسبت به گونه سنتز شده با روش مبتنی بر حال دارند. اما حسگر ساخته شده با روش مبتنی بر حال قابلیت تکرار پذیری بالاتری دارد و بنابراین بعنوان یک حسگر برای چندین بار استفاده مقرن به صرفه‌تر می‌باشد. همچنین نتایج نشان می‌دهند که با افزایش دما حساسیت‌پذیری در هر دو حسگر ساخته شده افزایش می‌یابد.

۵. منابع

- [1] A. Geim, et . al, *Nature*, 419, 499.7459 (2013).
- [2] J. Stewart, D. Spearot, *Modelling Simul. Mater. Sci. Eng.*, 21, 045003, (2013).
- [3] T. Cao, et. al., *Nat. Commun.*, 3, 887, (2012).
- [4] R. Ganatra, et. al., *ACS nano*, 8, 4074-4099, (2014).
- [5] G. Eda, et al. *Nano letters*, 11, 5111-5116, (2011).
- [6] Z. Wenjuan et. al., *Nat Commun.*, 5, 3087, (2014).
- [7] Z. Yin, et al., *ACS nano*, 6, 74-80, (2011).
- [8] S. Wi, et al., *ACS nano*, 8, 5270-5281, (2014).
- [9] W. Sanfeng, et. al., *ACS Nano*, 7, 2768-2772, (2013).
- [10] F. Ostovari and Y. Abdi , *Eur. Phys. J. Appl. Phys.*, 58, 30402, (2012).
- [11] الهام رحمانیان و همکاران ، مجله فیزیک سال دوم شماره دوم ، صفحه ۶۳ تا ۶۷، تابستان ۱۳۹۴ .
- [12] Z. Zhiyuan, et al., *Angewandte Chemie*, 123, 11289-11293, (2011).
- [13] Y-H. Lee, et al., *Advanced materials*, 24, 2320-2325, (2012).
- [14] K. Mak, et. al., *Phys. Rev. Lett.*, 105, 136805, (2010).
- [15] Z-J. Zhang, et al. *J. Phys. Chem. ,* 98, 12973-12977, (1994).
- [16] H. LI, et al., *Advanced Functional Materials*, 22, 1385-1390, (2012).



شکل ۸. حساسیت‌پذیری در دماهای مختلف و نرخ عبور شار اکسیژن ۶SLPM مربوط به حسگر ساخته شده بر پایه نانوصفحات دی‌سولفیدمولیبدن سنتز شده با دو روش (الف) رسوب فیزیکی بخار(R) و (ب) مبتنی بر حال(P).

علاوه این شکل نشان می‌دهد که گرچه جریان عبوری از حسگر بر پایه نانوصفحات دی‌سولفیدمولیبدن سنتز شده به روش رسوب فیزیکی بخار کمتر از روش مبتنی بر حال هست، اما حساسیت‌پذیری آن بسیار بالاتر است.

شکل ۸ همچنین معرف پاسخ زمانی بسیار کوتاه هر دو حسگر به حضور شار اکسیژن است. همان‌طور که در شکل مشخص شده است این زمان برای حسگرهای ساخته شده حدود ۳۰ ثانیه بددست آمده است.

تعداد دفعاتی که می‌توان یک حسگر را استفاده کرد، با عنوان تکرار پذیری حسگر، نیز جزو قابلیت‌های مهم یک حسگر است که باید به آن توجه کرد. شکل ۸ نشان می‌دهد که گونه سنتز شده به روش مبتنی بر حال قابلیت تکرار پذیری مناسبی دارد. در واقع بعد از فرآیند جذب یون اکسیژن و حفره تولید شده در سطح می‌توانند با گازهای دیگری در محیط مثل منوکسید کربن و هیدروژن واکنش داده و مجدداً نانوصفحات MoS₂ به حالت اولیه بازگرد و به این ترتیب حسگر می‌تواند دارای خاصیت تکرارپذیری باشد.

